

ANÁLISIS MEDIANTE ELEMENTOS DE CONTORNO CONSTANTES DE PROBLEMAS ELASTODINÁMICOS BIDIMENSIONALES EN EL DOMINIO DEL TIEMPO.

Rafael Gallego Sevilla
José Domínguez Abascal

Escuela Técnica Superior de Ingenieros Industriales de Sevilla.

Resumen.- Se presenta en este artículo, una formulación del método de los elementos de contorno para problemas elastodinámicos bidimensionales en el dominio del tiempo. Se introducen las ecuaciones básicas de la elastodinámica y se presenta el tratamiento numérico de la ecuación integral en que se basa el método. Se muestran algunos aspectos numéricos y computacionales de la formulación y, finalmente, se presentan algunas aplicaciones resueltas.

Abstract.- In this paper, a formulation of the Boundary Element Method for bidimensional elastodynamic problems in the time domain is presented. Basic equations of the Elastodynamic are introduced and the numerical treatment of the integral equation in which the method is based, is presented. Some numerical and computational aspects of the formulation are shown and, finally, some applications are studied.

1.- INTRODUCCIÓN

El método de los elementos de contorno (MEC) se ha revelado como una técnica muy adecuada para la resolución de una amplia variedad de problemas de la mecánica de los medios continuos.

El origen de la formulación del MEC para elastodinámica puede encontrarse en la identidad integral de Love [1]. Sin embargo, la formulación del MEC, tal y como la conocemos hoy fue presentada por Cruse y Rizzo en 1968 [2]. Desde entonces se han publicado muchos artículos explorando las posibilidades del método en el campo de la elastodinámica. Cruse y Rizzo [2], y Manolis y Beskos [3] usaron la transformada de Laplace y trabajaron en el

dominio transformado. Niwa, Kobayashi y Fukui [4], Domínguez [5], y Kobayashi y Nishimura [6] usaron la transformada de Fourier. Cole, Kosloff y Minster [7] trabajaron en el dominio del tiempo.

En el presente artículo se muestra una formulación del MEC para problemas elastodinámicos bidimensionales en el dominio del tiempo. Se muestran las ecuaciones básicas, la ecuación Integral en que se basa el método, así como el tratamiento numérico de la misma. Se presentan, finalmente, algunos problemas resueltos mediante esta técnica numérica.

2.- FORMULACIÓN BÁSICA

La ecuación general de la Elastodinámica,

que gobierna el campo de desplazamientos en el medio elástico es la ecuación de Navier:

$$\rho(c_p^2 - c_s^2)u_{i,jj} + \rho c_s^2 u_{j,ii} + \rho f_j = \rho \ddot{u}_j \quad (1)$$

donde, u_i representa las componentes del vector de desplazamientos, f_j las componentes del vector de fuerzas por unidad de masa, ρ es la densidad del medio, C_p y C_s son las velocidades de las ondas longitudinales y transversales, respectivamente.

A la ecuación de Navier hay que añadir las condiciones de contorno, y las condiciones iniciales, para caracterizar de forma completa el problema. Las primeras son expresiones tales como:

$$u(x,t) = u_c \quad \text{si } x \in r_1 \\ t < x/c \quad \text{si } x \in r_2$$

donde $r_1 + r_2$ supone el contorno completo del dominio sobre el que está definida la ecuación, u es el vector de desplazamientos y u_c su valor conocido, t'' es el vector de tensiones en un instante t , en un punto x del contorno en el cual la normal es n y t''_c su valor conocido.

Puesto que la ecuación de Navier es de segundo orden respecto a la variable temporal, es necesario conocer la posición y la velocidad de todos los puntos del dominio en el instante inicial:

$$u(x,0) = u_0 \\ \dot{u}(x,0) = v_0$$

El método de los elementos de contorno se basa, sin embargo, en una formulación integral del problema, que proviene del llamado Teorema de Reciprocidad. El teorema relaciona dos estados elastodinámicos, definidos sobre el mismo cuerpo y se expresa por la siguiente ecuación:

$$\int_{\Gamma} (t''^n \cdot u') d\Gamma + \rho \int_{\Omega} (f'' \cdot u' + v_0 \cdot u' + u_0 \cdot v') d\Omega = \\ = \int_{\Gamma} (t''^n \cdot u) d\Gamma + \rho \int_{\Omega} (f \cdot u + v_0 \cdot u + u_0 \cdot v) d\Omega \quad (2)$$

donde n es una región cuyo contorno es r , r, u, v

y t'' , son las variables correspondientes al primer estado y f', u', v' y t'' las equivalentes del segundo estado elastodinámico; u_0, v_0, u'_0, v'_0 son las condiciones iniciales de posición y velocidad para ambos estados. El símbolo $*$ entre dos vectores, indica la suma del producto de convolución de sus componentes, es decir:

$$a * b = \sum_i a_i * b_i = \sum_i \int_0^t a_i(\tau) b_i(t-\tau) d\tau$$

La representación Integral de los desplazamientos de un estado elastodinámico, se basa en la aplicación del teorema de reciprocidad (2), entre dicho estado real, y otro virtual, de tensiones y desplazamientos conocidos. Dicho estado virtual es el formado por los campos de tensiones y desplazamientos, provocados por una carga concentrada en un punto y un instante de tiempo, actuando sobre un dominio infinito, con condiciones iniciales nulas. Este estado es el llamado "solución fundamental" de la ecuación de Navier. Los desplazamientos del estado virtual son los de la solución fundamental sobre el dominio, que suponemos embebido en el dominio infinito y las tensiones se obtienen a partir del tensor de tensiones de la solución fundamental y las normales al contorno r . La ecuación integral que se obtiene, aplicando la carga de la solución fundamental en el punto t , y en el instante t es la siguiente,

$$u_k(t, t) = \int_r (U_{ki} * t''_i - T_{ij} * u_j) d\Gamma + \\ + \int_0^t \rho U_{ki} * f_j + \rho U_{ki} v_{0j} + \rho U_{ki} u_{0j} d\tau$$

siendo, u_{ki} y T_{ij} la componente i -ésima de los desplazamientos y las tensiones, respectivamente, de la solución fundamental, cuando la carga en el punto t , está colocada en dirección k .

La ecuación anterior cabe, en principio, establecerla para un punto t , perteneciente al contorno r , del dominio considerado. En este caso las integrales del campo de tensiones y de desplazamientos de la solución fundamental, contienen una singularidad, al estar aplicada en el propio contorno de integración la carga concentrada. Para encontrar el valor de dichas integrales singulares es necesario realizar un proceso de límite. Realizando esta operación, y suponiendo que el estado real tiene condiciones iniciales y fuerzas másicas nulas, se llega a

$$ck_i \int_{\Gamma} (U_{ki} * t''_i - T_{ij} * u_j) d\Gamma \quad (3)$$

donde ck_i es una constante que depende de las tangentes al contorno en el punto considerado.

La ecuación (3) puede ser escrita de una forma alternativa teniendo en cuenta que, debido a la linealidad del problema,

$$U_{ki} * t''_i = v_{k1} \langle x, t \rangle I t''_i \langle x, U \rangle \\ T_{ij} * u_j = -c_{ij} \langle x, t \rangle I u_j \langle x, t \rangle$$

siendo v_{ki} el desplazamiento en dirección i , en el punto x y el instante t , provocado por una carga colocada en el punto t , cuya variación con el tiempo es precisamente la de la función $t''_i \langle x, t \rangle$. Una interpretación similar puede darse a $-c_{ij}$. Una demostración rigurosa de estas igualdades puede encontrarse en la referencia 181. De esta forma podemos escribir (3) como,

$$c_{k1} \langle x, t \rangle I u_j \langle x, t \rangle = \int_r (v_{k1} \langle x, t \rangle I t''_i \langle x, t \rangle - \\ - t_{ij} \langle x, t \rangle I u_j \langle x, t \rangle) d\Gamma \quad (4)$$

La ecuación integral (4) aplicada sobre todos los puntos del contorno, caracteriza de forma completa, los campos de tensiones y desplazamientos. La resolución de la misma permitiría conocer dichas variables en el contorno. Esto en un caso de geometría y condiciones de contorno cualquiera es inviable. La resolución numérica de la misma, se encuentra obstaculizada por las fuertes singularidades que presentan los núcleos de las ecuaciones de contorno. Es necesario transformar dichas expresiones para su tratamiento numérico.

3.-TRATAMIENTO NUMÉRICO

El intervalo de tiempo en estudio se divide en M pequeños pasos de tiempo iguales, de magnitud Δt , a lo largo de los cuales los valores de las tensiones y los desplazamientos permanecen constantes, es decir:

$$\forall t / (m-1)\Delta t \leq t < m\Delta t$$

$$t''_i \langle x, t \rangle = t''_i \langle x \rangle [H(t - (m-1)\Delta t) - H(t - m\Delta t)]$$

$$u_i \langle x, t \rangle = u_i \langle x \rangle [H(t - (m-1)\Delta t) - H(t - m\Delta t)]$$

donde $H(t)$ es la función escalón de Heaviside, m es un índice entero que varía entre 1 y el número total M de intervalos de tiempo. Para un instante de tiempo cualquiera t , menor que $N\Delta t$, se puede escribir,

$$t''_i \langle x, t \rangle = \sum_{\alpha=1}^m t''_i \langle x \rangle s^m(t) \\ u_i \langle x, t \rangle = \sum_{\alpha=1}^m u_i \langle x \rangle s^m(t) \quad (5)$$

$$\text{con } s^m(t) = H(t - (m-1)\Delta t) - H(t - m\Delta t)$$

Teniendo en cuenta (5) y la linealidad de la solución fundamental las expresiones del Integrand de (4) pueden transformarse en,

$$v_{k1} \langle x, t \rangle I t''_i \langle x, t \rangle = \sum_{\alpha=1}^m v_{k1} \langle x, t \rangle I s^m(t) \\ I u_j \langle x, t \rangle I u_j \langle x, t \rangle = \sum_{\alpha=1}^m -c_{ij} \langle x, t \rangle I s^m(t) \quad (6)$$

La respuesta de desplazamientos y tensiones en el instante N debida a un pulso s^m , que está aplicado en el instante m , es igual a la provocada en el instante $N - m + 1$, por un pulso aplicado en el instante t , si

$$v_{k1} \langle x, N - m + 1 \rangle I s^m = v_{k1} \langle x, (N - m + 1)\Delta t \rangle I s^1 \\ I u_j \langle x, N - m + 1 \rangle I s^m = I u_j \langle x, (N - m + 1)\Delta t \rangle I s^1$$

Llamando,

$$u^1_{kt} = v_{k1} \langle x, (N - m + 1)\Delta t \rangle I s^1 \\ r^1_{kj} = I u_j \langle x, (N - m + 1)\Delta t \rangle I s^1$$

se obtiene finalmente,

$$ck_i \int_{\Gamma} (U_{ki} * t''_i - T_{ij} * u_j) d\Gamma = \int_{\Gamma} (u^1_{ki} * t''_i - r^1_{kj} * u_j) d\Gamma$$

con $i = N - m + 1$

El cálculo de las integrales de contorno va a realizarse subdividiendo el mismo en α elementos.

$$ck_i \int_{\Gamma} (u^1_{ki} * t''_i - r^1_{kj} * u_j) d\Gamma = \\ = \sum_{\alpha=1}^N \int_{\Gamma_{\alpha}} (u^1_{ki} * t''_i - r^1_{kj} * u_j) d\Gamma_{\alpha}$$

El contorno es aproximado mediante pequeños elementos rectos, sobre cada uno de los cuales se suponen constantes los desplazamientos y las tensiones. Llamando

$u^m(q)$ al valor del desplazamiento durante el intervalo m -ésimo en el elemento q -ésimo y similar definición para $t^m(q)$ pueden sacarse las variables desconocidas de las integrales elementales.

Si se agrupan los desplazamientos del contorno, de un instante N , en un sólo vector, u^N , e igualmente se hace con las tensiones, en el vector t^N , y se escriben todas las ecuaciones en una forma matricial compacta, se llega a,

$$H^1 u^N = G^1 t^N + a^N \quad (8)$$

donde H^1 es la matriz formada por las integrales de las tensiones de la solución fundamental del primer instante. G^1 formada, de manera similar, y a^N contiene la contribución de los instantes anteriores al N -ésimo, y viene dado por,

$$a^N = \begin{cases} 0 & \text{Si } N=1 \\ \sum_{m=1}^{N-1} (G^1 t^m - H^1 u^m) & \text{Si } N>1 \end{cases}$$

con $l=N-m+1$

En esta ecuación los dos términos del segundo miembro representan la contribución al campo de desplazamientos del instante N de las tensiones que existen en dicho instante, y el efecto de los desplazamientos y tensiones de instantes pasados, respectivamente. Puede observarse, que en un instante dado N , el término a^N es perfectamente calculable a partir de las tensiones y desplazamientos de instantes anteriores. En un instante dado, pues, las incógnitas, se encuentran en los vectores t^N y u^N , siendo el resto de términos totalmente conocidos. Cada instante de tiempo exige el cálculo de un nuevo vector de términos independientes, formado a partir del vector a^N , más la contribución de las condiciones de contorno conocidas, en dicho instante de tiempo. Sin embargo, la inversión de la matriz del sistema sólo es necesario realizarla una sola vez, puesto que, como puede verse, dicha matriz es siempre la misma.

3.1.-Aspectos numéricos y computacionales.

Según se observa del planteamiento del método, y de las discretizaciones adoptadas en tiempo y espacio, no existe, en principio, ninguna dependencia entre el tamaño mínimo de

los elementos escogidos para la discretización geométrica, y la duración del incremento de tiempo de la discretización temporal. Sin embargo, en las aplicaciones prácticas del método, se encuentra, que los resultados no son suficientemente satisfactorios si dichas cantidades no cumplen la relación:

$$c_p \Delta t \leq s_{\min}$$

siendo c_p la velocidad de las ondas P, que son las más rápidas, Δt el valor del lapso adoptado, y s_{\min} la más pequeña de las semilongitudes de los elementos del contorno. Esta condición significa, que los efectos de cargar un nodo cualquiera q , no van más allá del elemento que lo contiene, durante el primer intervalo de tiempo.

Bajo el aspecto computacional hay que resaltar la necesidad de almacenar, a lo largo de todo el cálculo, todas las matrices globales H^N y G^N , así como los vectores de tensiones y desplazamientos, calculados en cada instante de tiempo. Esto es así, por la convolución que en cada paso se realiza entre las matrices y dichos vectores, para calcular el término a^N , que exige multiplicar cada matriz por un vector diferente en cada instante de tiempo.

4.- APLICACIONES

4.1.- Placa sometida a tracción.

El problema consiste en una banda infinita empotrada en uno de sus lados y libre en el otro. Este dominio se somete, en su extremo libre, a una carga constante unidad, que se aplica súbitamente, en el instante inicial $t=0$. Matemáticamente, su evolución en el tiempo se representa por una función escalón de Heaviside.

Debido a la simetría del problema, puede modelarse por una banda de la misma anchura que la original y longitud finita, L , restringiendo en estos extremos laterales, el movimiento en dirección perpendicular a la carga.

Para la discretización de la geometría, se han escogido dos longitudes diferentes, 2 y 3,5, para comprobar su efecto en los resultados. Las características del material son, $\rho=1$, $\mu=40.000$ y $\nu=0,25$. Para el caso de $L=2$ se han resuelto dos

casos con diferentes Δt , uno en el cual la onda no sale del elemento durante el primer intervalo de tiempo ($\Delta t=10^{-4}$), y otro en que sí lo hace ($\Delta t=10 \cdot 10^{-4}$). Para ambas se ha discretizado el contorno mediante 24 elementos constantes, 4 en el extremo libre y el empotrado, y 8 en los dos laterales. Los resultados de ambos problemas se presentan en la figura 1. En dicha figura se observa la excelente aproximación de los resultados a la solución teórica del problema. Para los instantes de tiempo racionales la solución con el intervalo de tiempo mayor se deteriora. Como ya se apuntó la causa de ello es que la onda no permanece dentro del elemento durante el primer intervalo de tiempo.

Para la otra geometría, $L=3,5$, se han tomado 7 elementos sobre los extremos libre y empotrado y 8 en los lados laterales. Se ha adoptado para este caso el incremento de tiempo mayor ($\Delta t=10 \cdot 10^{-4}$). Se representa en la figura 2 el movimiento vertical en dos puntos del extremo libre. Puede observarse que la aproximación es tan buena como en el caso del modelo anterior con el incremento de tiempo menor.

Estos resultados muestran la sensibilidad del método a la forma del modelo y posición de los puntos. Dichos resultados pueden justificarse teniendo en cuenta que la solución que aporta el método está perturbada por unas "ondas de contorno" que recorren el mismo a una velocidad superior a la de las ondas reales del medio. Estas ondas surgen de la discretización, ya que cuando una perturbación llega a un extremo de un elemento, a todos los efectos, es como si el elemento entero hubiera sido influido por la misma, trasladándola hasta el centro del elemento, que se convierte, ahora, en un emisor de ondas. Este indeseable efecto se atenuará con una aproximación más exacta de las variables sobre los elementos, como la que se alcanza con elementos parabólicos.

En la figura 3 se representan las tensiones que aparecen en la base de la placa. Se ha representado la media de los 7 puntos que constituyen la discretización en ese extremo. Puede comprobarse que la aproximación es buena y representa con bastante precisión el salto brusco de tensión.

4.2.- Elemento sometido a flexión.

El siguiente aplicación consiste en un elemento rectangular empotrado en un lado y libre en los otros tres. En el extremo opuesto al empotramiento se coloca una carga cortante, que varía con el tiempo según se ve en la figura 4.

Para modelarlo, se ha tomado las dos discretizaciones temporales anteriores y dos de la geometría, una con 12 elementos y otra con 24. En la figura 5 se presentan los resultados del desplazamiento horizontal de un punto del extremo cargado y se comparan los resultados con los obtenidos por otros autores [9]. Los resultados para tiempos cortos son buenos con todas las discretizaciones, pero se deterioran conforme pasa el tiempo, más cuanto más gruesas son aquellas.

5.- CONCLUSIONES.

Como conclusión se puede decir que el método ofrece soluciones aproximadas incluso para el elemento sometido a flexión, donde los elementos constantes, aproximan con dificultad el campo de desplazamientos. La aproximación de los resultados puede incrementarse aumentando el número de elementos e intervalos de tiempo. Se obtiene una mejor aproximación manteniendo la onda dentro del elemento durante el primer intervalo de tiempo, por lo que la reducción de los elementos de contorno debe ir acompañada de una reducción del intervalo de tiempo.

Se ha mostrado una formulación del MEC para problemas elastodinámicos bidimensionales. Se basa en aproximar mediante escalones constantes la variación en el tiempo de las magnitudes. Esta simplificación conduce a un planteamiento muy sencillo cuyos resultados son satisfactorios. Para aplicaciones más complejas que las presentadas en este trabajo será necesario mejorar la aproximación de las variables, tanto en el tiempo como en el espacio.

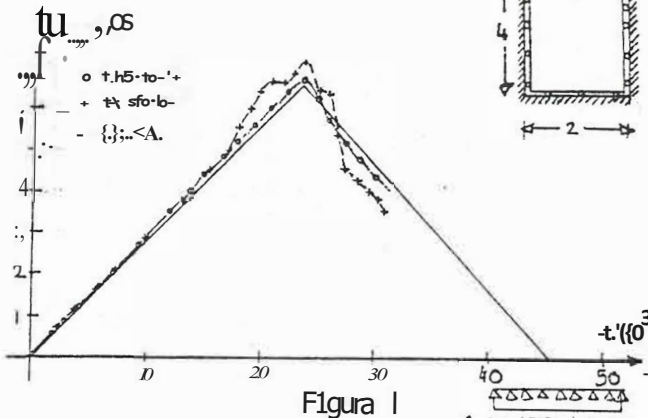


Figura 1

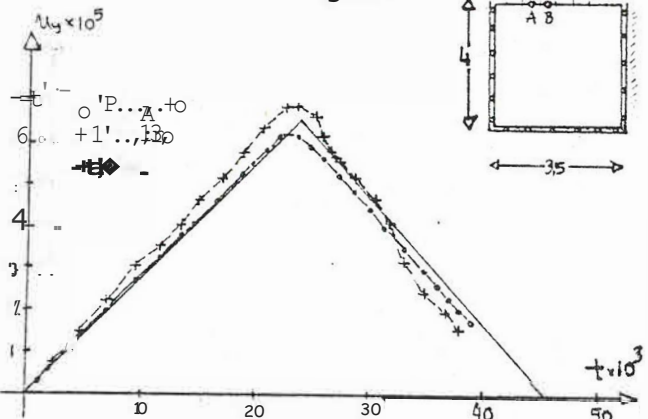


Figura 2

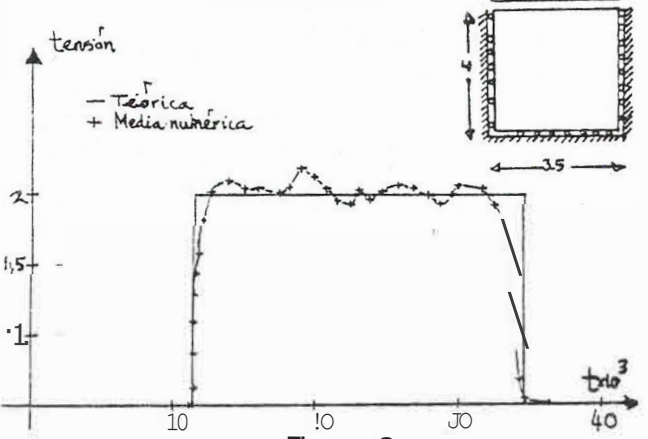


Figura 3

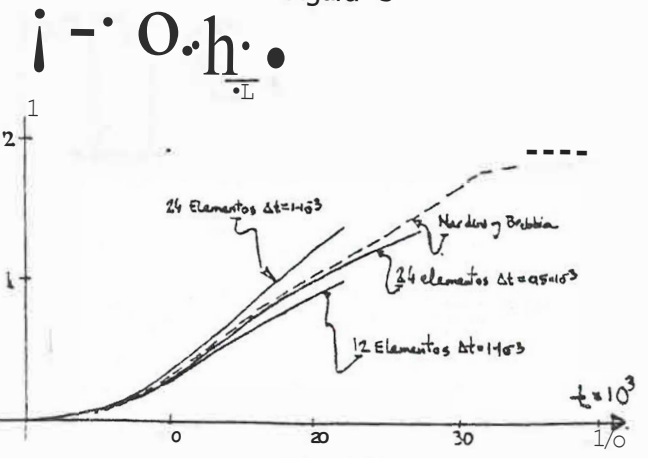


Figura 4

6.- BIBLIOGRAFIA

- 1.- Love, AE.H. "The Propagation of wave-motion In an Isotropic Elastic Solid Medium". Proc. London Mathematical Society, Series 2, 1, 1904.
- 2.- Cruse, T.A y Rizzo, F.J. "A Direct Formulation of the General Transient Elastodynamic Problem I". International Journal of Mathematical Analysis and Applications, Vol. 22, pp 244-259, 1968.
- 3.- Manolis, GD. y Beskos, OE. "Dynamic Stress Concentration Studies by Boundary Integral and Laplace Transform". International Journal of Numerical Methods in Engineering, Vol. 17, pp 573-599, 1981.
- 4.- Niwa, Y, Kobayashi, S y Fukui, T. "Applications of the Integral Equation Method for Some Geomechanical Problems". Numerical Method In Geomechanics, ASCE, Vol. 1, pp 120-131, 1976.
- 5.- Domínguez, J. "Dynamic Stiffness of Rectangular Foundations". Research Report R78-20, Department of Civil Engineering, Massachusetts Institute of Technology, Cambridge, Mass., 1978.
- 6.- Kobayashi, S. y Nishimura, N. "Dynamic Response of Surface Foundations by Time Domain BEM". International Symposium on Dynamic Soil-Structure Interaction, Minneapolis, Balkema, Rotterdam, 1984.
- 7.- Cole, DM, Kosloff, DD. y Minster, J.B. "A Numerical Boundary Integral Equation Method for Elastodynamic 1". Bulletin of the seismological Society of America, Vol. 68, pp 1331-1357, 1978.
- 8.- Eringen, AG. y Suhubi, ES. "Elastodynamics", Vol 11, 1975.
- 9.- Nardini, D. y Brebbia, CA. "Transient Dynamic Analysis by the Boundary Element Method". Proceeding of the Fifth International Conference, Hiroshima, Japan, 1983.